

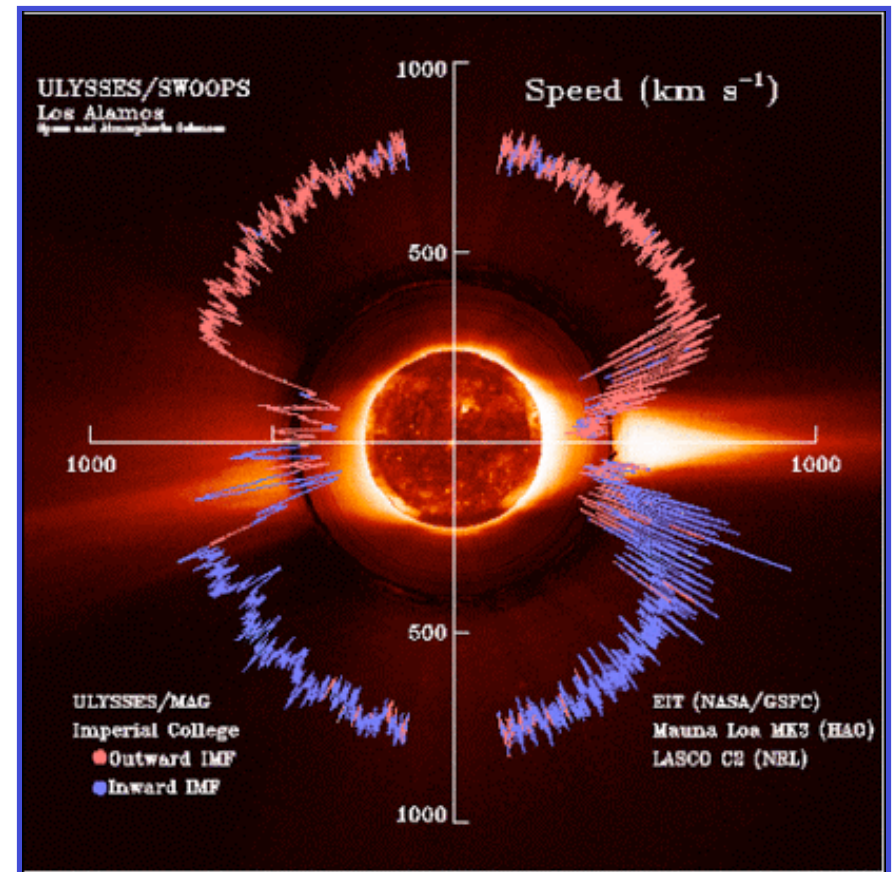
# Vent solaire: ondes, turbulence et MHD Hall

Sébastien GALTIER  
IAS / Université Paris-Sud

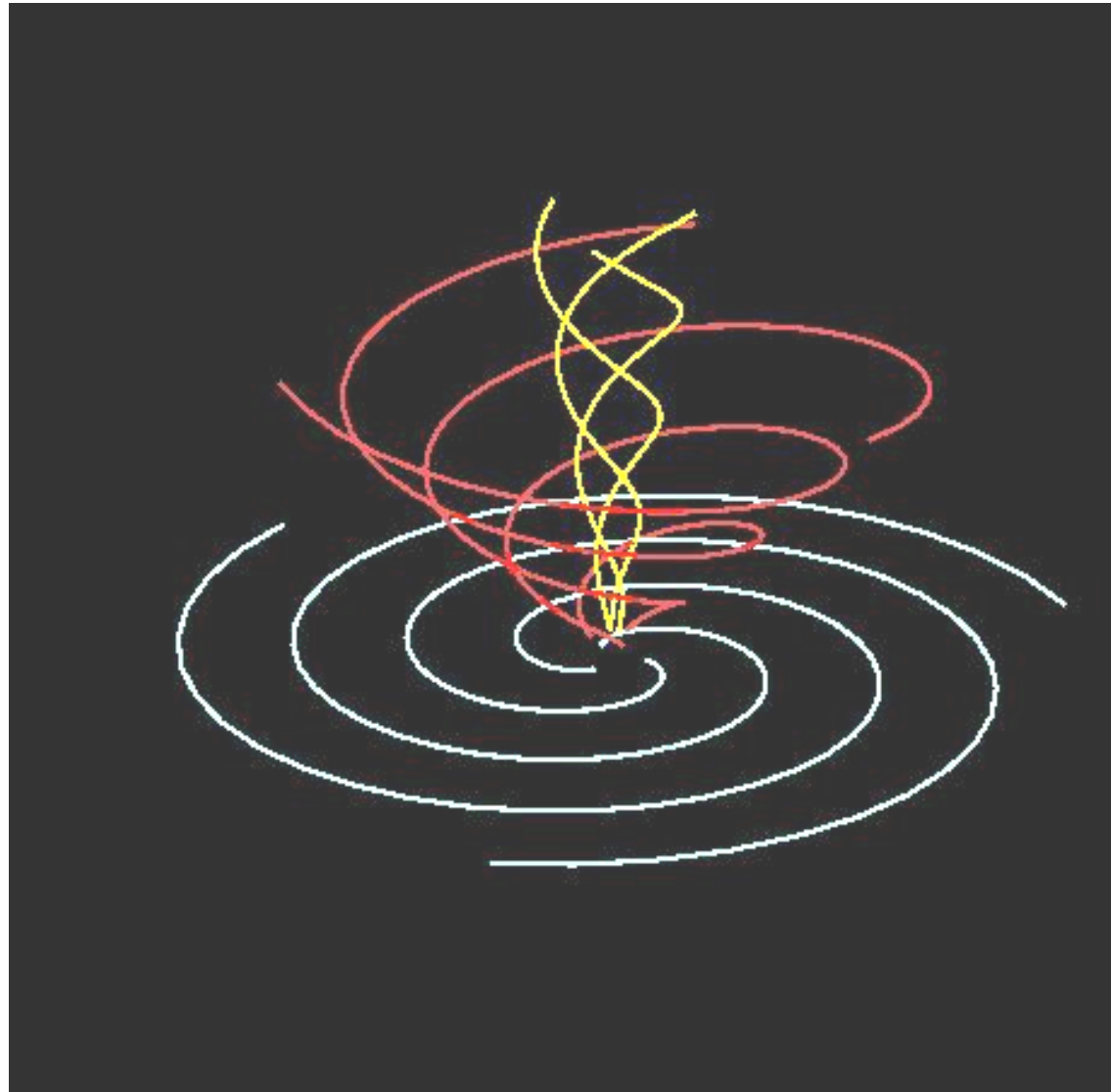


# Le vent solaire

- Vent produit par le Soleil qui inonde toute l'héliosphère ( $\sim 100\text{AU}$ )
- Fluctuations  $\sim 10^{-7}\text{ Hz to }10^2\text{ Hz}$
- Vents rapide et lent ( $> 20R_{\text{SUN}}$ )
- Faible variation de densité (qq %)
- Nombre de Reynolds  $\sim 10^9$



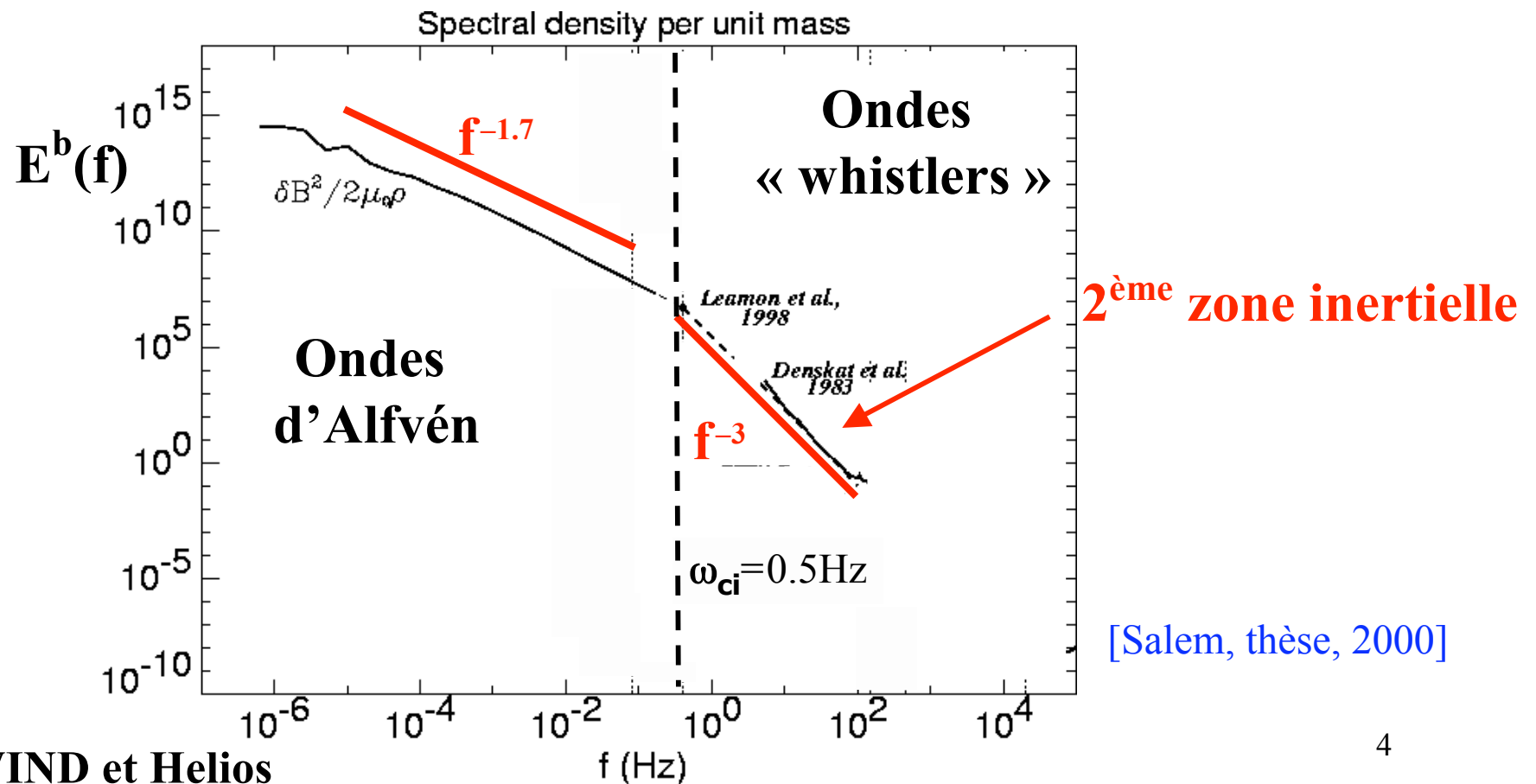
# Vent solaire (E. Parker, 1958)



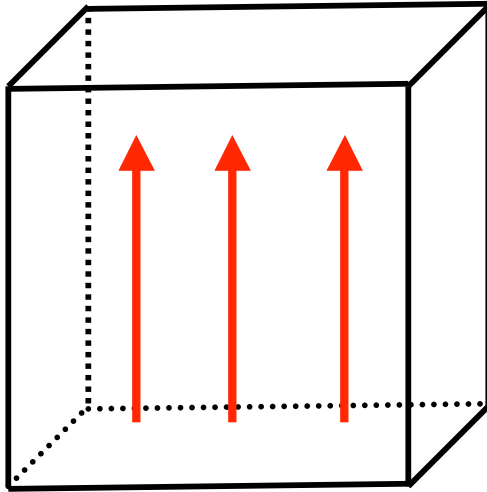
# Turbulence multiéchelles

Raidissement du spectre des fluctuations magnétiques :  $f^{-1.7} \rightarrow f^{-3}$

[Coroniti et al., 1982; Denskat et al., 1983; Leamon et al., 1999; Bale et al., 2005]

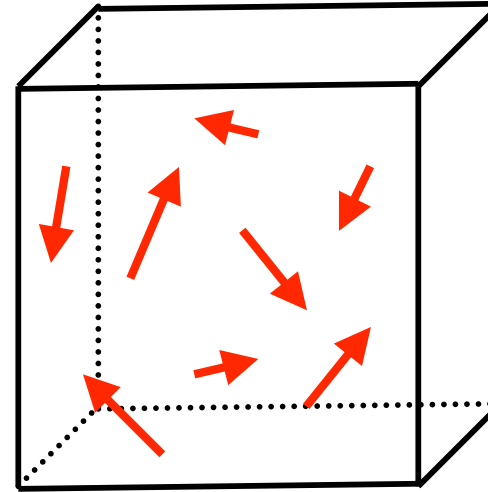


# Approches théoriques



$$\mathbf{B}(\mathbf{x},t) = B_0 \mathbf{e}_{//} + \boldsymbol{\varepsilon} \mathbf{b}(\mathbf{x},t)$$

Turbulence d'ondes



$$\mathbf{B}(\mathbf{x},t) = \mathbf{b}(\mathbf{x},t)$$

Turbulence forte

# MHD Hall incompressible

Equations ( $\nu=\eta=0$ ) inviscides :

$$\nabla \cdot \mathbf{v} = 0$$

$$\partial_t \mathbf{v} + \mathbf{v} \cdot \nabla \mathbf{v} = -\nabla P_* + \mathbf{B} \cdot \nabla \mathbf{B}$$

$$\partial_t \mathbf{B} + \mathbf{v} \cdot \nabla \mathbf{B} = \mathbf{B} \cdot \nabla \mathbf{v} - d_i \nabla \times [ (\nabla \times \mathbf{B}) \times \mathbf{B} ]$$

$$\nabla \cdot \mathbf{B} = 0$$

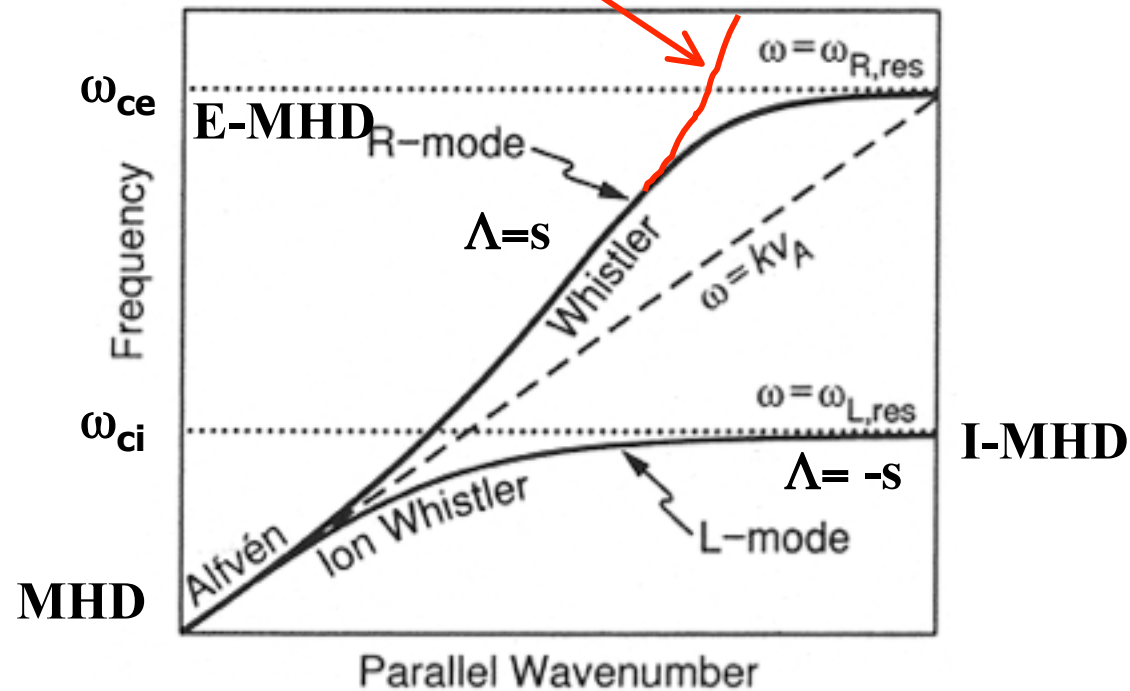
( $d_i > 100$  km à 1UA)

- Longueur inertielle des ions :  $d_i = B_0 / \omega_{ci}$  ;  $\mathbf{B} = B_0 \mathbf{e}_{//} + \mathbf{b}$

# Ondes en MHD Hall incompressible

En MHD Hall, les électrons n'ont pas de masse

$k = k_{//}$



$$(sk_{//} > 0) \quad \omega_{\Lambda}^s(k) = B_0 s d_i k^2 (s\Lambda + \sqrt{1 + 4/(d_i k)^2}) / 2$$

# **1. Turbulence d'ondes**



# Turbulence d'ondes en MHD Hall

[Galtier, 2006]

On veut décrire le vent solaire interne ( $< 1\text{UA}$ )

- On introduit :  $\mathbf{B}(\mathbf{x},t) = B_0 \mathbf{e}_{//} + \boldsymbol{\varepsilon} \mathbf{b}(\mathbf{x},t)$  avec  $0 < \boldsymbol{\varepsilon} \ll 1$   
mais  $B_0$  est dans une direction **fixe**
- On développe perturbativement les équations en Fourier
- On calcule asymptotiquement les équations cinétiques d'ondes

$$\tau_{nl} \gg \tau_w$$

[Zakharov et al., 1992]

# Turbulence d'ondes en MHD Hall

- Utilisation d'une **décomposition hélicitaire** complexe (onde hélicitaire):

$$\mathbf{h}^\Lambda(\mathbf{k}) \equiv \mathbf{h}_\mathbf{k}^\Lambda = \hat{\mathbf{e}}_\theta + i\Lambda\hat{\mathbf{e}}_\Phi \quad \left\{ \begin{array}{l} \hat{\mathbf{e}}_\theta = \hat{\mathbf{e}}_\Phi \times \hat{\mathbf{e}}_k \\ \hat{\mathbf{e}}_\Phi = \frac{\hat{\mathbf{e}}_\parallel \times \hat{\mathbf{e}}_k}{|\hat{\mathbf{e}}_\parallel \times \hat{\mathbf{e}}_k|} \end{array} \right.$$

$\Lambda$  est la polarisation d'onde ( $\Lambda = \pm 1$ ) ;  $\mathbf{k} \cdot \mathbf{h}_\mathbf{k}^\Lambda = 0$  ,  $\hat{\mathbf{e}}_k \times \mathbf{h}_\mathbf{k}^\Lambda = -i\Lambda \mathbf{h}_\mathbf{k}^\Lambda$

[Craya, 1958; Kraichnan, 1973; Cambon et al., 1989; Turner, 2000; Galtier 2003]

$$\rightarrow \left\{ \begin{array}{l} \mathbf{v}_\mathbf{k} = \sum_{\Lambda} \mathcal{U}_\Lambda(\mathbf{k}) \mathbf{h}_\mathbf{k}^\Lambda = \sum_{\Lambda} \mathcal{U}_\Lambda \mathbf{h}_\mathbf{k}^\Lambda , \\ \mathbf{b}_\mathbf{k} = \sum_{\Lambda} \mathcal{B}_\Lambda(\mathbf{k}) \mathbf{h}_\mathbf{k}^\Lambda = \sum_{\Lambda} \mathcal{B}_\Lambda \mathbf{h}_\mathbf{k}^\Lambda . \end{array} \right.$$

# Turbulence d'ondes en MHD Hall

- On introduit les variables **d'Elsässer généralisées** :

$$\mathcal{Z}_\Lambda^s \equiv \mathcal{U}_\Lambda + \xi_\Lambda^s \mathcal{B}_\Lambda ,$$

$$\xi_\Lambda^s(k) = \xi_\Lambda^s = -\frac{sd_i k}{2} \left( s\Lambda + \sqrt{1 + \frac{4}{d_i^2 k^2}} \right) .$$

D'où :

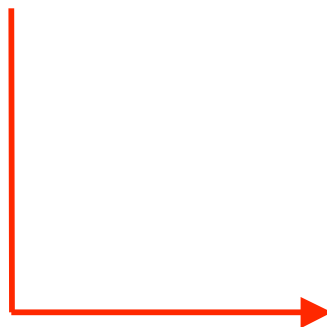
$$\begin{cases} \partial_t \mathcal{Z}_\Lambda^s = -i \omega_\Lambda^s \mathcal{Z}_\Lambda^s \\ \omega_\Lambda^s(k) = B_0 sk_{//} d_i k (s\Lambda + \sqrt{1 + 4/(d_i k)^2}) / 2 \end{cases}$$

# Turbulence d'ondes en MHD Hall

- On obtient l'équation d'amplitude de l'onde :

$$\partial_t a_\Lambda^s = \frac{\epsilon}{4d_i} \int \sum_{\substack{\Lambda_p, \Lambda_q \\ s_p, s_q}} \xi_\Lambda^{s^2} \frac{\xi_{\Lambda_q}^{s_q} - \xi_{\Lambda_p}^{s_p}}{\xi_\Lambda^s - \xi_\Lambda^{-s}} M_{-k p q}^{\Lambda \Lambda_p \Lambda_q} a_{\Lambda_p}^{s_p} a_{\Lambda_q}^{s_q} e^{-i\Omega_{pq,k} t} \delta_{pq,k} dp dq,$$

$$\Omega_{pq,k} = \omega_{\Lambda_p}^{s_p} + \omega_{\Lambda_q}^{s_q} - \omega_\Lambda^s$$



$$\partial_t (a_\Lambda^s a_{\Lambda'}^{s'}) = \tag{B 1}$$

$$\frac{\epsilon}{4d_i} \int \sum_{\substack{\Lambda_p, \Lambda_q \\ s_p, s_q}} \xi_\Lambda^{s^2} \frac{\xi_{\Lambda_p}^{s_p} - \xi_{\Lambda_q}^{s_q}}{\xi_\Lambda^s - \xi_\Lambda^{-s}} M_{-k p q}^{\Lambda \Lambda_p \Lambda_q} (a_{\Lambda_p}^{s_p} a_{\Lambda_q}^{s_q} a_{\Lambda'}^{s'}) e^{-i\Omega_{pq,k} t} \delta_{pq,k} dp dq$$

$$+$$

$$\frac{\epsilon}{4d_i} \int \sum_{\substack{\Lambda_p, \Lambda_q \\ s_p, s_q}} \xi_{\Lambda'}^{s'^2} \frac{\xi_{\Lambda_p}^{s_p} - \xi_{\Lambda_q}^{s_q}}{\xi_{\Lambda'}^{s'} - \xi_{\Lambda'}^{-s'}} M_{-k' p' q'}^{\Lambda' \Lambda_p \Lambda_q} (a_{\Lambda_p}^{s_p} a_{\Lambda_q}^{s_q} a_{\Lambda'}^{s'}) e^{-i\Omega_{p'q',k'} t} \delta_{p'q',k'} dp dq.$$

and

$$\partial_t (a_\Lambda^s a_{\Lambda'}^{s'} a_{\Lambda''}^{s''}) = \tag{B 2}$$

$$\frac{\epsilon}{4d_i} \int \sum_{\substack{\Lambda_p, \Lambda_q \\ s_p, s_q}} \xi_\Lambda^{s^2} \frac{\xi_{\Lambda_p}^{s_p} - \xi_{\Lambda_q}^{s_q}}{\xi_\Lambda^s - \xi_\Lambda^{-s}} M_{-k p q}^{\Lambda \Lambda_p \Lambda_q} (a_{\Lambda_p}^{s_p} a_{\Lambda_q}^{s_q} a_{\Lambda'}^{s'} a_{\Lambda''}^{s''}) e^{-i\Omega_{pq,k} t} \delta_{pq,k} dp dq$$

$$+$$

$$\frac{\epsilon}{4d_i} \int \sum_{\substack{\Lambda_p, \Lambda_q \\ s_p, s_q}} \xi_{\Lambda'}^{s'^2} \frac{\xi_{\Lambda_p}^{s_p} - \xi_{\Lambda_q}^{s_q}}{\xi_{\Lambda'}^{s'} - \xi_{\Lambda'}^{-s'}} M_{-k' p' q'}^{\Lambda' \Lambda_p \Lambda_q} (a_{\Lambda_p}^{s_p} a_{\Lambda_q}^{s_q} a_{\Lambda'}^{s'} a_{\Lambda''}^{s''}) e^{-i\Omega_{p'q',k'} t} \delta_{p'q',k'} dp dq$$

$$+$$

$$\frac{\epsilon}{4d_i} \int \sum_{\substack{\Lambda_p, \Lambda_q \\ s_p, s_q}} \xi_{\Lambda''}^{s''^2} \frac{\xi_{\Lambda_p}^{s_p} - \xi_{\Lambda_q}^{s_q}}{\xi_{\Lambda''}^{s''} - \xi_{\Lambda''}^{-s''}} M_{-k'' p'' q''}^{\Lambda'' \Lambda_p \Lambda_q} (a_{\Lambda_p}^{s_p} a_{\Lambda_q}^{s_q} a_{\Lambda'}^{s'} a_{\Lambda''}^{s''}) e^{-i\Omega_{p''q'',k''} t} \delta_{p''q'',k''} dp dq.$$

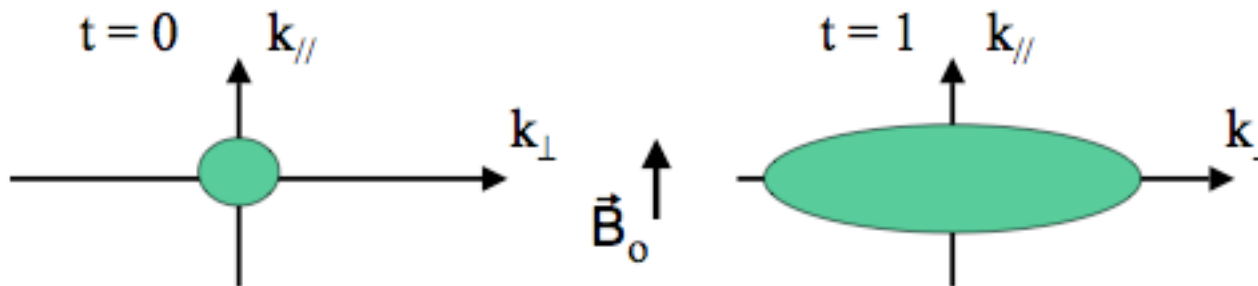
# Technique de turbulence d'ondes

Aux temps longs ( $\tau \sim \tau_{tr} \gg \tau_A$ ), seuls les termes résonants survivent

**Fermeture asymptotique des équations cinétiques !**

# Turbulence d'ondes en MHD Hall

- Tendance globale ( $\forall$  l'échelle) vers l'**anisotropie** spectrale :



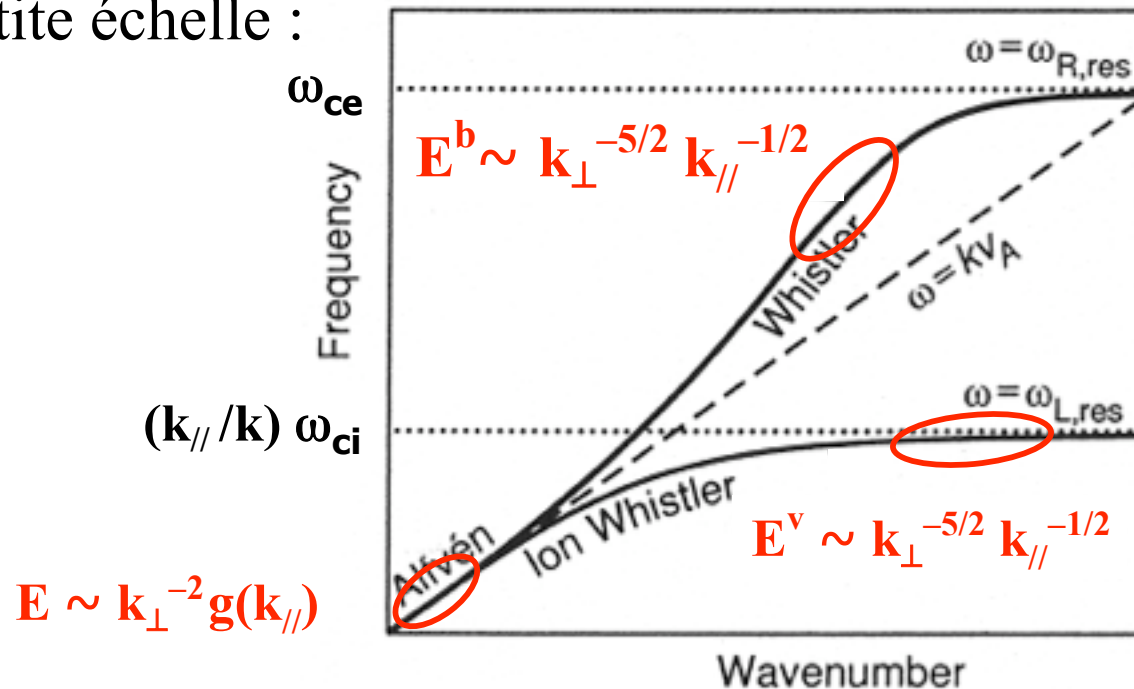
- Les équations maîtresses sont :

$$\partial_t \begin{Bmatrix} E^V(\mathbf{k}) \\ E^B(\mathbf{k}) \end{Bmatrix} = \frac{\pi \epsilon^2}{8 d_\perp^2 B_0^2} \int \sum_{\substack{\Lambda, \Lambda_p, \Lambda_q \\ \Lambda, \Lambda_p, \Lambda_q}} \left( \frac{\sin \psi_k}{k} \right)^2 \frac{(\Lambda k + \Lambda_p p + \Lambda_q q)^2 (1 - \xi_\Lambda^{-s^2} \xi_{\Lambda_p}^{-s^2} \xi_{\Lambda_q}^{-s^2})^2}{(1 + \xi_\Lambda^{-s^2})(1 + \xi_{\Lambda_p}^{-s^2})(1 + \xi_{\Lambda_q}^{-s^2})} \left( \frac{\xi_{\Lambda_q}^{s^2} - \xi_{\Lambda_p}^{s^2}}{k_\perp} \right)^2 \left\{ \begin{matrix} \xi_\Lambda^{-s^2} \\ 1 \end{matrix} \right\} \frac{\omega_\Lambda^s \omega_{\Lambda_p}^{s^2}}{\xi_\Lambda^{-s^2} + 1} \left( \frac{\xi_{\Lambda_q}^{-s^2} E^V(\mathbf{q}) - E^B(\mathbf{q})}{\xi_{\Lambda_q}^{-s^2} - 1} \right) \left[ \left( \frac{\xi_{\Lambda_p}^{-s^2} E^V(\mathbf{p}) - E^B(\mathbf{p})}{\xi_{\Lambda_p}^{-s^2} - 1} \right) - \left( \frac{\xi_\Lambda^{-s^2} E^V(\mathbf{k}) - E^B(\mathbf{k})}{\xi_\Lambda^{-s^2} - 1} \right) \right] \delta(\Omega_{k, \Lambda q}) \delta_{k, \Lambda q} d\mathbf{p} d\mathbf{q}.$$

# Turbulence d'ondes en MHD Hall

- Les solutions exactes en loi de puissance montrent un **raidissement**

à petite échelle :

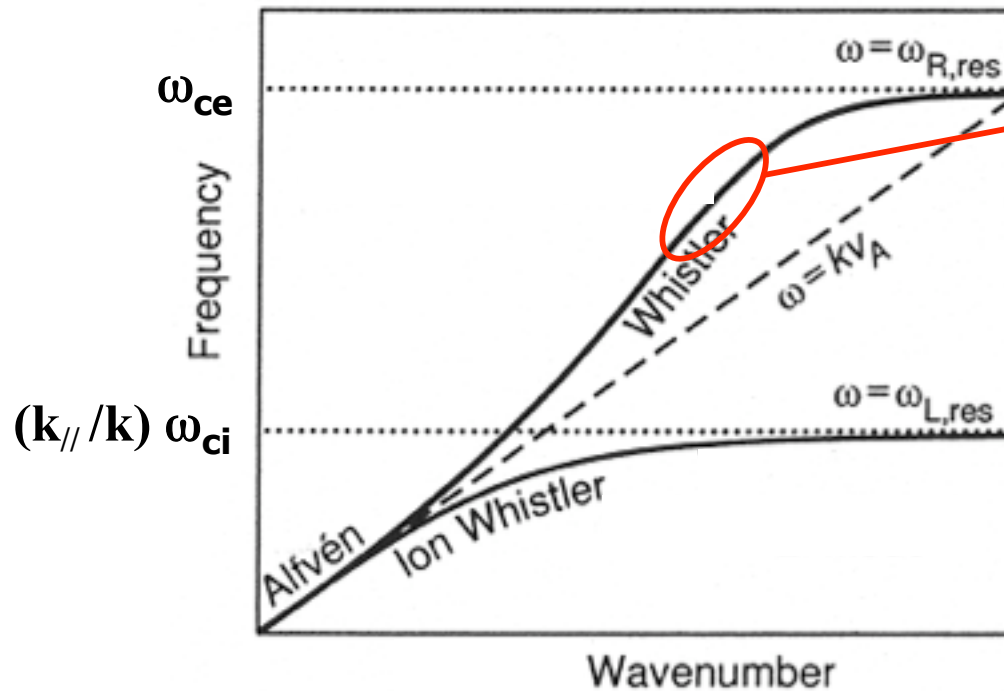


Kraichnan

Anisotrope : 
$$E(k_{\perp}, k_{//}) \sim \sqrt{\Pi B_0} k_{\perp}^{-2} k_{//}^{-1/2} (1 + k_{\perp}^2 d_i^2)^{-1/4}$$

$(d_i \sim 100 \text{ km})$

# Turbulence d'ondes en MHD Hall



Comme Navier Stokes en rotation rapide !



## **2. Turbulence forte**

# Turbulence (forte) en MHD Hall

- Que sait-on de la turbulence (forte) MHD Hall ? *Peu de choses...*
  - DNS sont restreintes aux (très) bas nombres de Reynolds
  - Difficultés d'obtenir un comportement multiéchelles

[eg. Ghosh et al., 1996; Mininni et al., 2003-2006]

**Attendre quelques décennies ou changer de stratégie !**

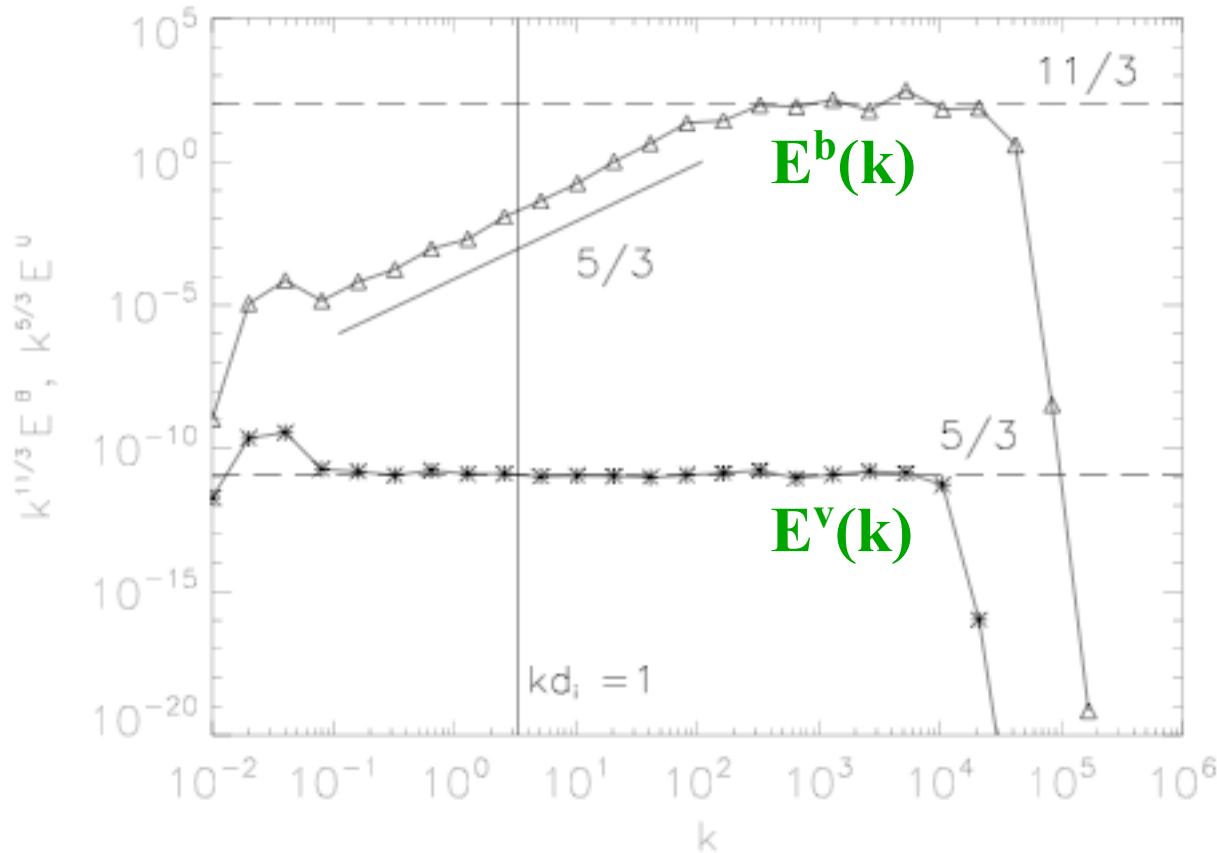
# Turbulence (forte) en MHD Hall

[Galtier & Buchlin, 2007]

Etude numérique à l'aide d'un modèle « **3D** » de **cascade turbulente** :

$$\begin{aligned} \frac{\partial V_n}{\partial t} + \nu_2 k_n^4 V_n = \\ ik_n \left[ (V_{n+1} V_{n+2} - B_{n+1} B_{n+2}) - \frac{1}{4} (V_{n-1} V_{n+1} - B_{n-1} B_{n+1}) - \frac{1}{8} (V_{n-2} V_{n-1} - B_{n-2} B_{n-1}) \right]^* \\ \frac{\partial B_n}{\partial t} + \eta_2 k_n^4 B_n = \\ \frac{ik_n}{6} [(V_{n+1} B_{n+2} - B_{n+1} V_{n+2}) + (V_{n-1} B_{n+1} - B_{n-1} V_{n+1}) + (V_{n-2} B_{n-1} - B_{n-2} V_{n-1})]^* \\ + (-1)^n id_i k_n^2 \left[ B_{n+1} B_{n+2} - \frac{1}{4} B_{n-1} B_{n+1} - \frac{1}{8} B_{n-2} B_{n-1} \right]^* , \end{aligned}$$

# Turbulence (forte) en MHD Hall



**Raidissement non trivial**

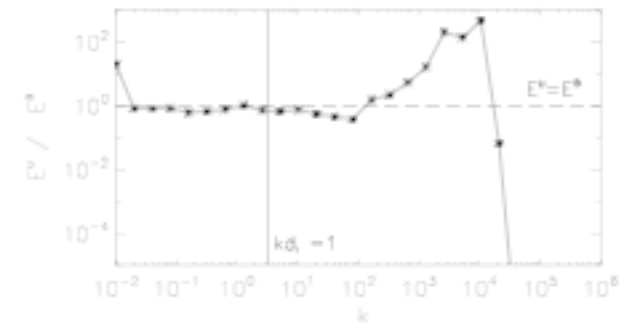
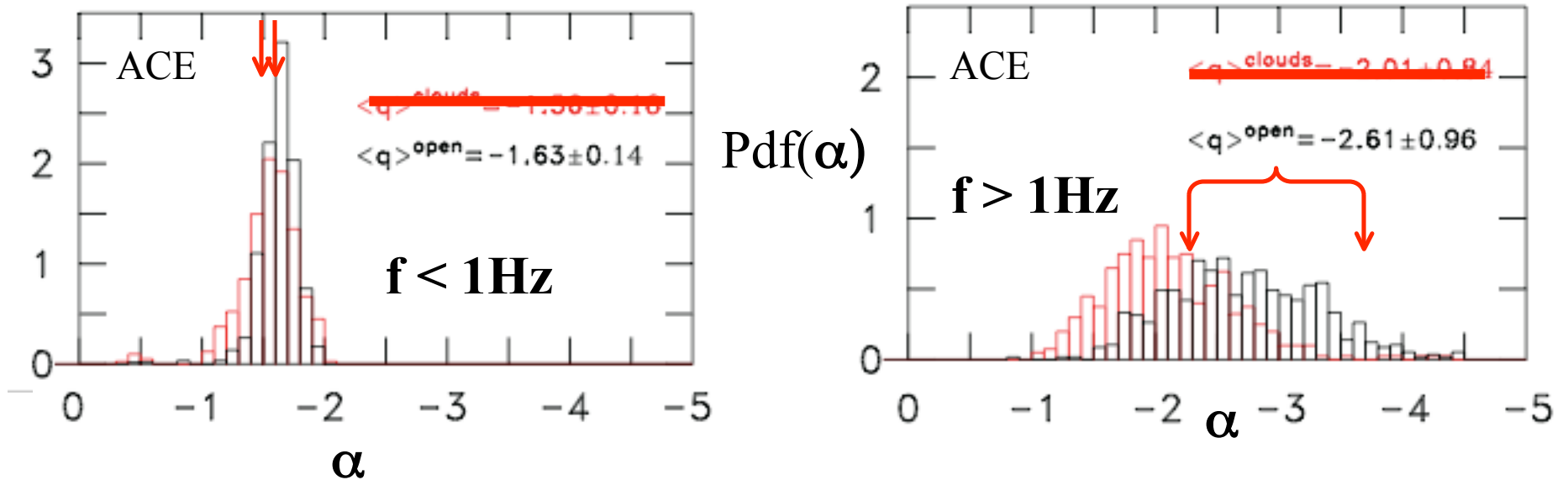


Fig. 2.— Compensated magnetic (triangles) and kinetic (stars; for clarity, they are shifted to lower values) energy spectra in Hall-MHD. The vertical solid lines indicate the critical value  $kd_i = 1$ .

# Spectre des fluctuations magnétiques

[Smith et al., 2006]



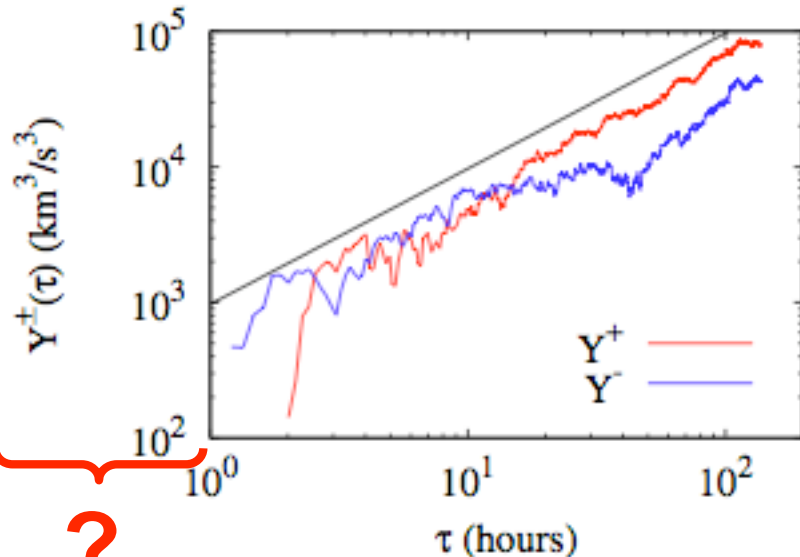
- Turbulence MHD Hall :  $E^b(k) \sim k^{-\alpha}$ , où  $\alpha = 7/3 \rightarrow 11/3$
- Peut dépendre de l'efficacité de **l'absorption cyclotron**



### Observation of Inertial Energy Cascade in Interplanetary Space Plasma

L. Sorriso-Valvo,<sup>1</sup> R. Marino,<sup>2</sup> V. Carbone,<sup>2</sup> A. Noullez,<sup>3</sup> F. Lepreti,<sup>2</sup> P. Veltri,<sup>2</sup>  
R. Bruno,<sup>4</sup> B. Bavassano,<sup>4</sup> and E. Pietropaolo<sup>5</sup>

1996, days 104-113



Prédiction exacte pour la MHD :

[Politano & Pouquet, 1998]

$$Y^\pm(r) = -\frac{4}{3}\epsilon^\pm r \quad Y^\pm(r) = \langle |\Delta \mathbf{z}^\pm|^2 \Delta z_{\parallel}^\mp \rangle$$

Prédiction exacte pour la MHD Hall :

$$-\frac{4}{3}\epsilon^T r = B_{\parallel ii}^{vvv} + B_{\parallel ii}^{vbb} - 2B_{\parallel ii}^{bvb} - 4d_I(S_{\parallel ii}^4 - S_{i\parallel i}^4) \quad [\text{Galtier, 2008}]$$

$$B_{ijk}^{\alpha\beta\gamma} = \langle (\alpha'_i - \alpha_i)(\beta'_j - \beta_j)(\gamma'_k - \gamma_k) \rangle \quad S_{ijk}^4(\mathbf{r}) = \langle J_i(\mathbf{x})b_j(\mathbf{x})b_k(\mathbf{x}') \rangle$$

# Conclusions

- Présence de **deux** zones inertielles dans le vent solaire
- La turbulence **MHD Hall** est un modèle pertinent
  - Turbulence d'ondes/forte mènent à un raidissement
  - Turbulence compressible aussi...
- Rôle d'un flux **asymétrique**, hypothèse de Taylor...?
- Intermittence...
- Données actuelles **ne sont pas** suffisantes (  $f \rightarrow$  vecteur d'onde  $\mathbf{k}$  )